

Зарождение дислокационных петель в напряженных квантовых точках, внедренных в гетерослой

© А.Л. Колесникова, А.Е. Романов*

Институт проблем машиноведения Российской академии наук,
199178 Санкт-Петербург, Россия

* Физико-технический институт им. А.Ф. Иоффе Российской академии наук,
194021 Санкт-Петербург, Россия

E-mail: aer@mail.ioffe.ru

(Поступила в Редакцию 5 февраля 2004 г.)

Исследуется вопрос о зарождении призматических дислокационных петель в напряженных квантовых точках. Рассматриваются квантовые точки, находящиеся в гетероструктуре пленка–подложка с наведенными механическими напряжениями. Последние вызваны различием параметров кристаллических решеток пленки (гетерослоя) и подложки. Собственная пластическая деформация квантовой точки ε_m обусловлена несоответствием параметров решеток материалов квантовой точки и окружающей матрицы. Граница между гетерослоем и подложкой характеризуется собственным параметром несоответствия f . Анализируется влияние параметра несоответствия f на функциональную зависимость критического радиуса квантовой точки $R_c(\varepsilon_m)$, при котором в ней энергетически выгодно появление дислокационной петли.

Работа выполнена в рамках программы „Физика твердотельных наноструктур“ Минпрома РФ.

В настоящее время исследование структур, содержащих квантовые точки и квантовые нити, вызывает значительный интерес. Упругие деформации таких полупроводниковых гетероструктур существенно влияют на их электронные и оптоэлектронные свойства [1–3]. Квантовые точки и квантовые нити обычно имеют параметры кристаллической решетки, отличные от аналогичных параметров окружающей матрицы. Это обстоятельство позволяет моделировать квантовые точки (квантовые нити) включениями с собственной пластической деформацией ε_m , вызванной несоответствием параметров решеток. Энергия упругих искажений, вносимых такими включениями, пропорциональна их объему [4] и гипотетически может достигать неограниченно больших значений. Очевидно, что должны существовать механизмы сброса упругой энергии этими включениями. Среди таких механизмов отметим: а) зарождение на границе включения и окружающей его матрицы призматической дислокационной петли несоответствия [5] подобно тому, как это происходит на границе несоответствия пленки и подложки (см., например, [6,7]); б) выброс призматической дислокационной петли из включения в окружающую матрицу [8–10]. Поскольку типичной гетероструктурой является упругонапряженная пленка, находящаяся в контакте с подложкой, возникает необходимость анализа указанных выше механизмов сброса упругой энергии квантовыми точками, внедренными в такую гетероструктуру.

В данной работе выявляются условия зарождения призматических дислокационных петель несоответствия в квантовых точках. Анализируется влияние параметра несоответствия между пленкой и подложкой на зависимость критического радиуса квантовой точки (при котором возникновение дислокационной петли становится энергетически выгодным) от ее собственной пласти-

ческой деформации. Рассматриваемая задача продолжает исследование проблемы зарождения дислокационной петли несоответствия на границе включения в ненапряженной матрице [5].

Среди исследований, посвященных сходным проблемам в квантовых нитях, отметим работы по зарождению дислокаций несоответствия, параллельных оси нити с треугольным, круговым и прямоугольным сечениями [11–13]. В работе [13] проанализировано зарождение прямоугольной дислокационной петли в квантовой нити вблизи свободной поверхности. Родственными также можно считать задачи о зарождении дислокаций несоответствия на границе между пленкой и подложкой в телах сферической [14] и цилиндрической [15] формы. Для напряженных островков, размещенных на подложке, модели зарождения дислокаций несоответствия были предложены в работах [16–18].

В нашем рассмотрении сфероидальное включение радиуса R_{sp} , моделирующее квантовую точку, находится в гетероструктуре пленка–подложка (рис. 1). Параметр кристаллической решетки пленки a_{film} отличен от параметра решетки подложки a_{sub} . Это отличие характеризуется параметром несоответствия $f = (a_{sub} - a_{film})/a_{film}$ и является причиной возникновения механических напряжений в гетероструктуре. В приближении, когда подложка полубесконечна, а пленка имеет конечную толщину t , напряжения постоянны и сосредоточены в пленке:

$$\sigma_{xx}^{misf} = \sigma_{yy}^{misf} = \frac{2G(1+\nu)f}{(1-\nu)}, \quad 0 \leq z \leq t. \quad (1)$$

Рассмотрим зарождение призматической дислокационной петли несоответствия во включении, расположенном достаточно далеко от свободной поверхности. Это существенно упрощает расчеты и анализ влияния

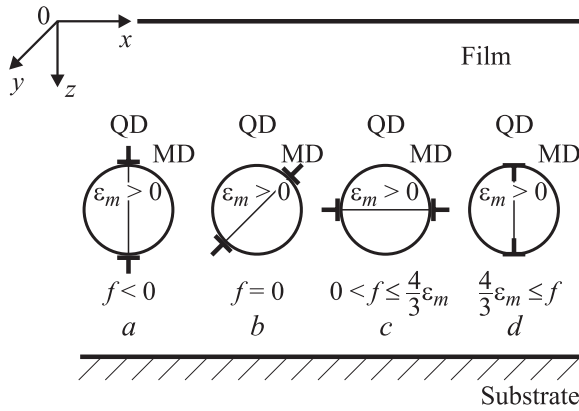


Рис. 1. Призматическая дислокационная петля несоответствия (MD) в квантовой точке (QD), находящейся в гетерослое. $a-d$ — варианты ориентации и типов MD. ε_m — величина собственной пластической дилатации QD, f — параметр несоответствия кристаллических решеток пленки и подложки.

напряженного состояния пленки на появление призматической дислокационной петли на границе включения. Свободная поверхность заметно влияет на упругие поля и энергии включения и дислокационной петли, а следовательно, и на релаксационные процессы, протекающие во включении, только когда рассматриваемый дефект находится в приповерхностном слое толщиной порядка своего радиуса. При более детальном исследовании влияние свободной поверхности будет учтено.

В сфероиде определена пластическая дилатация β_{ij}^* , вызванная несоответствием параметров кристаллических решеток материала сфероиды a_{sp} и окружающего материала пленки a_{film} :

$$\beta_{xx}^* = \beta_{yy}^* = \beta_{zz}^* = \varepsilon_m \delta(\Omega_{sp}), \quad (2)$$

где $\varepsilon_m = (a_{sp} - a_{film})/a_{film}$, $\delta(\Omega_{sp})$ — дельта-функция Дирака для области Ω_{sp} , занимаемой сфероидом. Она определяется следующим образом:

$$\delta(\Omega_{sp}) = \begin{cases} 1, & \mathbf{r} \in \Omega_{sp}, \\ 0, & \mathbf{r} \notin \Omega_{sp}. \end{cases}$$

Знак параметра ε_m соответствует характеру дилатации: $\varepsilon_m > 0$ при расширении, $\varepsilon_m < 0$ при сжатии.

Напряжения внутри сферического включения $\propto \sigma_{ij}$, находящегося в бесконечной среде, имеют вид [4]

$$\sigma_{xx}^{(in)} = \sigma_{yy}^{(in)} = \sigma_{zz}^{(in)} = -\frac{4G\varepsilon_m(1+\nu)}{3(1-\nu)}, \quad (3)$$

где G — модуль сдвига, ν — коэффициент Пуассона.

Энергетическое условие зарождения петли на поверхности включения представляется неравенством

$$E_{loop} + W_{sp-loop} + W_{loop-film} \leq 0, \quad (4)$$

где E_{loop} — упругая энергия призматической дислокационной петли, $W_{sp-loop}$ — энергия упругого взаимодействия сфероиды и петли, $W_{loop-film}$ — энергия упругого взаимодействия петли с полем напряжений пленки.

Упругая энергия круговой призматической дислокационной петли имеет вид [9]

$$E_{loop} = \frac{Gb^2 r_{loop}}{2(1-\nu)} \left(\ln \frac{8r_{loop}}{r_{core}} - 2 \right). \quad (5)$$

Здесь b — величина вектора Бюргера дислокационной петли, r_{loop} — радиус петли, r_{core} — радиус ядра дислокации. Для учета энергии ядра дислокации в (5) полагается, что $r_{core} = b/\alpha$ (α — эмпирическая постоянная, зависящая от материала; например, для неметаллов $\alpha = 4$) [20]:

$$E_{loop} = \frac{Gb^2 r_{loop}}{2(1-\nu)} \ln \left(\frac{1.08\alpha r_{loop}}{b} \right). \quad (6)$$

Энергия взаимодействия петли с включением $W_{sp-loop}$ и энергия взаимодействия петли с полем напряжений пленки $W_{loop-film}$ определяются как работа по созданию петли в поле напряжений включения и пленки соответственно. Рассмотрим случай, когда на границе включения, имеющего $\varepsilon_m > 0$, зарождается призматическая петля вычитания. Это энергетически выгодно (см. условие (4)), когда параметр несоответствия f принимает отрицательные или небольшие положительные значения,

$$\begin{aligned} W_{sp-loop} &= - \int_{V_{loop}} \beta_{ij}^{*loop} \sigma_{ij}^{(in)} dV = - \int_{S_{loop}} (-b) \sigma_{jj}^{(in)} dS \\ &= - \frac{4\pi G(1+\nu)\varepsilon_m b r_{loop}^2}{3(1-\nu)}, \end{aligned} \quad (7)$$

$$\begin{aligned} W_{loop-film} &= - \int_{V_{loop}} \beta_{ij}^{*loop} \sigma_{ij}^{misf} dV \\ &= \begin{cases} 0, & \beta_{zz}^{*loop} = -b\delta(z-z_0)H(1-\gamma_1), \quad (8) \\ + \frac{2\pi Gb(1+\nu)f}{(1-\nu)} b r_{loop}^2, & \beta_{xx}^{*loop} = -b\delta(x-x_0)H(1-\gamma_2). \quad (9) \end{cases} \end{aligned}$$

Здесь $\delta(z-z_0)$ и $\delta(x-x_0)$ — дельта-функции Дирака, $H(1-\gamma_1)$ и $H(1-\gamma_2)$ — функции Хевисайда, $\gamma_1 = \sqrt{(x-x_0)^2 + (y-y_0)^2}/r_{loop}$, $\gamma_2 = \sqrt{(z-z_0)^2 + (y-y_0)^2}/r_{loop}$, (x_0, y_0, z_0) — координаты центра петли.

Отметим, что зародившаяся петля имеет радиус, равный радиусу включения $r_{loop} = R_p$. Энергия взаимодействия петли с полем напряжений в пленке анализируется в двух случаях: а) плоскость петли параллельна плоскости границы между пленкой и подложкой (плоскости интерфейса) (8); б) плоскость петли перпендикулярна плоскости интерфейса (9) (рис. 1).

На основе выражений (4), (6)–(9) и с учетом того, что $r_{loop} = R_{sp}$, получаем уравнение для определения критического радиуса включения R_c , при котором энергетически выгодно зарождение призматической дислока-

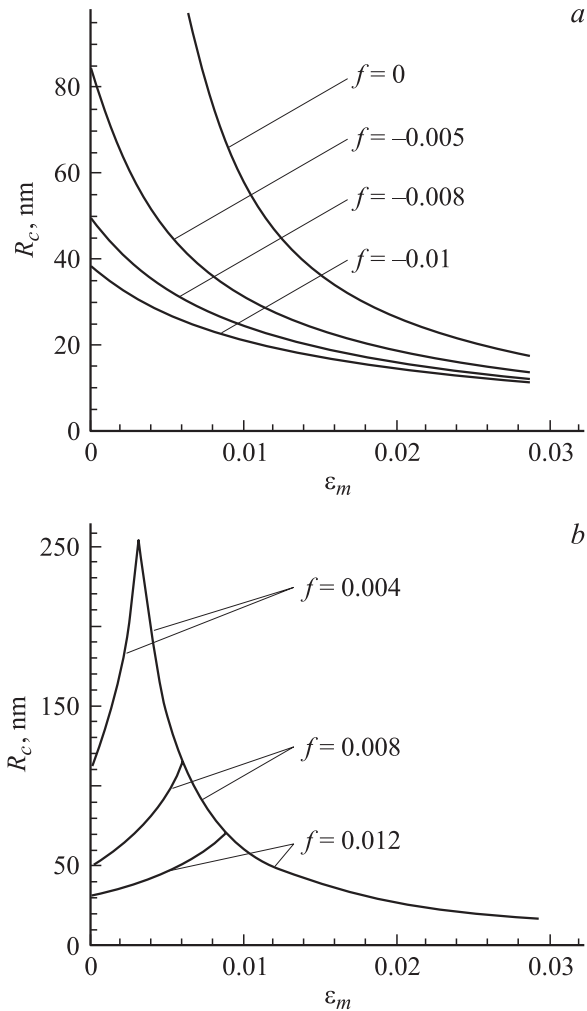


Рис. 2. Зависимость критического радиуса квантовой точки R_c от величины собственной пластической дилатации ε_m при различных параметрах несоответствия f . Величина вектора Бюргерса дислокационной петли $b = 0.3$ nm, константа вклада энергии ядра дислокации $\alpha = 4$, коэффициент Пуассона $\nu = 0.3$.

ционной петли несоответствия,

$$R_c = \frac{3b}{4\pi(1+\nu)(2\varepsilon_m - 3f^*)} \ln\left(\frac{1.08\alpha R_c}{b}\right), \quad (10)$$

где $f^* = 0$, когда плоскость петли параллельна плоскости интерфейса, и $f^* = f$, когда плоскость петли перпендикулярна плоскости интерфейса. Из (10) следует, что при $f < 0$ энергетически выгодно зарождение петли, перпендикулярной границе интерфейса. При этом поля напряжений в пленке (при $f < 0$ они сжимающие) способствуют образованию локальной неоднородности в виде дислокационной петли несоответствия на границе включения (при $\varepsilon_m > 0$ напряжения внутри включения также сжимающие). Включение в такой пленке приобретает петлю несоответствия при меньших радиусах по сравнению с включением, находящимся в ненапряженной матрице ($f = 0$) (рис. 2, *a*). Отметим, что

в отсутствие напряжений в пленке ($f = 0$) в рамках упругой континуальной модели петля несоответствия во включении может быть произвольно ориентирована в пространстве. Интересна ситуация, когда $f > 0$. Согласно (10), существует единственная возможность: петля расположена параллельно плоскости интерфейса ($f^* = 0$). Однако при достаточно больших положительных напряжениях в пленке во включении энергетически выгоднее зарождение петли внедрения, так как именно она уменьшает общую упругую энергию системы (см. условие (4)). В этом случае уравнение для критического радиуса включения имеет вид

$$R_c = \frac{3b}{4\pi(1+\nu)(3f - 2\varepsilon_m)} \ln\left(\frac{1.08\alpha R_c}{b}\right). \quad (11)$$

Критерием образования петли внедрения является условие $3f > 4\varepsilon_m$ ($\varepsilon_m > 0$).

Таким образом, проведенный анализ выявляет следующие возможные варианты для образования петли несоответствия во включении с собственной пластической дилатацией $\varepsilon_m > 0$, находящемся в пленке, нанесенной на подложку.

1) Если параметр несоответствия между пленкой и подложкой $f < 0$, во включении образуется призматическая дислокационная петля вычитания, плоскость которой перпендикулярна границе интерфейса (рис. 1, *a*). Критический радиус включения определяется из условия (10) (рис. 2, *a*).

2) Если $f = 0$, во включении образуется призматическая дислокационная петля вычитания, плоскость которой произвольно ориентирована в пространстве (рис. 1, *b*). Критический радиус включения также определяется из условия (10) (рис. 2, *a*).

3) Если $0 < f < \frac{4}{3}\varepsilon_m$, во включении образуется призматическая дислокационная петля вычитания, плоскость которой параллельна границе интерфейса (рис. 1, *c*). Критический радиус включения определяется из условия

$$R_c = \frac{3b}{8\pi(1+\nu)\varepsilon_m} \ln\left(\frac{1.08\alpha R_c}{b}\right). \quad (12)$$

Зависимость $R_c(\varepsilon_m)$ иллюстрируется кривой, показанной на рис. 2, *a* при $f = 0$.

4) Если $f = \frac{4}{3}\varepsilon_m$, во включении образуется либо призматическая дислокационная петля вычитания, плоскость которой параллельна границе интерфейса (рис. 1, *c*), либо призматическая дислокационная петля внедрения, плоскость которой перпендикулярна границе интерфейса (рис. 1, *d*). Критический радиус включения определяется из условия (12) (рис. 2, *a*).

5) Если $f > \frac{4}{3}\varepsilon_m$, во включении образуется призматическая дислокационная петля внедрения, плоскость которой перпендикулярна границе интерфейса (рис. 1, *d*). Критический радиус включения определяется из условия (11) (рис. 2, *b*).

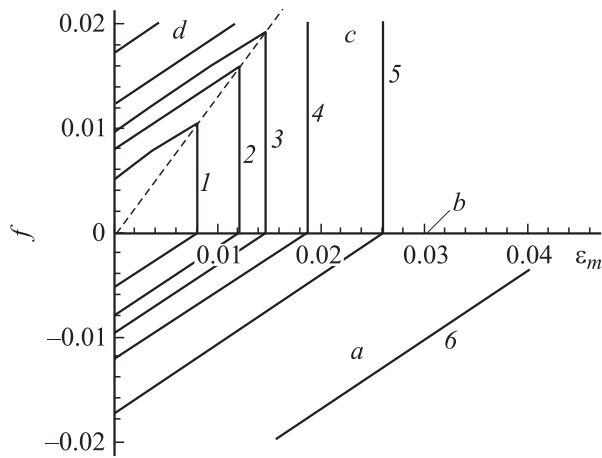


Рис. 3. Изоконтуры критических радиусов включения R_c (R_c , nm: 1 — 80, 2 — 50, 3 — 40, 4 — 30, 5 — 20, 6 — 10) в зависимости от собственной пластической дилатации ε_m и параметра несоответствия f . Области $a-d$ соответствуют ориентациям дислокационной петли несоответствия, показанным на рис. 1. Величина вектора Бюргерса дислокационной петли $b = 0.3$ nm, константа вклада энергии ядра дислокации $\alpha = 4$, коэффициент Пуассона $\nu = 0.3$.

На рис. 3 представлены изоконтуры критических радиусов в координатной системе ε_m-f . Выделены области $a-d$, отвечающие положениям дислокационной петли, изображенным на рис. 1.

Анализ зарождения дислокационной петли несоответствия для включений с $\varepsilon_m < 0$ аналогичен изложенному выше и приводит к зеркальному результату.

Проведенный теоретический анализ позволяет сделать вывод, что напряжения в пленке, обусловленные параметром несоответствия f в системе пленка-подложка, существенно влияют не только на величину критического радиуса квантовой точки, при котором энергетически выгодно зарождение дислокационной петли несоответствия, но и на ориентацию такой петли по отношению к границе интерфейса и тип самой петли (петля вычитания или внедрения).

Список литературы

- [1] A.D. Andreev, E.P. O'Reilly. Phys. Rev. B **62**, 15 851 (2000).
- [2] P. Waltereit, A.E. Romanov, J.S. Speck. Appl. Phys. Lett. **81**, 4754 (2002).
- [3] N. Usami, T. Ichitsubo, T. Ujihara, T. Takanashi, K. Fujiwara, G. Sasaki, K. Nakajima. J. Appl. Phys. **94**, 916 (2003).
- [4] T. Mura. *Micromechanics of Defects in Solids*. Martinus Nijhoff, Boston (1987). 587 p.
- [5] А.Л. Колесникова, А.Е. Романов. Письма в ЖТФ **30**, 89 (2004).
- [6] В.И. Владимиров, М.Ю. Гуткин, А.Е. Романов. ФТТ **29**, 2750 (1987).
- [7] R. Beanland, D.J. Dunstan, P.J. Goodhew. Adv. Phys. **45**, 87 (1996).
- [8] Н.Д. Захаров, В.Н. Рожанский, Р.Л. Корчажкина. ФТТ **16**, 1444 (1974).
- [9] V.V. Chaldyshev, N.A. Bert, A.E. Romanov, A.A. Suvorova, A.L. Kolesnikova, V.V. Preobrazhenskii, M.A. Putyato, B.R. Semyagin, P. Werner, N.D. Zakharov, A. Claverie. Appl. Phys. Lett. **80**, 377 (2002).
- [10] Н.А. Берт, А.Л. Колесникова, А.Е. Романов, В.В. Чалдышев. ФТТ **44**, 2139 (2002).
- [11] T.J. Gosling, L.B. Freund. Acta Mater. **44** 1 (1996).
- [12] J. Colin, J. Grihle. Phil. Mag. Lett. **82**, 125 (2002).
- [13] M.Yu. Gutkin, I.A. Ovid'ko, A.G. Sheinerman. J. Phys.: Cond. Matter **15**, 3539 (2003).
- [14] L.I. Trusov, M.Yu. Tanakov, V.G. Gryasnov, A.M. Kaprelov, A.E. Romanov. J. Cryst. Growth **114**, 133 (1991).
- [15] M.Yu. Gutkin, A.G. Sheinerman. Phys. Stat. Sol. (a) **184**, 485 (2001).
- [16] E. Pehlke, N. Moll, A. Kley, M. Scheffler. Appl. Phys. A **65**, 525 (1997).
- [17] K. Tillmann, A. Foster. Thin Solid Films **368**, 93 (2000).
- [18] I.A. Ovid'ko. Phys. Rev. Lett. **88**, 046 103 (2002).
- [19] J. Dundurs, N.J. Salamon. J. Phys. C **50**, 125 (1972).
- [20] J. Hirth, J. Lothe. *Theory of Dislocations*. Wiley, N.Y. (1982). 752 p.